



**NCT Ipari Elektronikai Kft**

Fejlesztési osztály

# Szinuszos enkóder alapú pozíció meghatározás

DOKUMENTÁCIÓ

Faragó Gyula  
faragogyulii@gmail.com

Németh András  
nemand1996@gmail.com

2022. január 17.

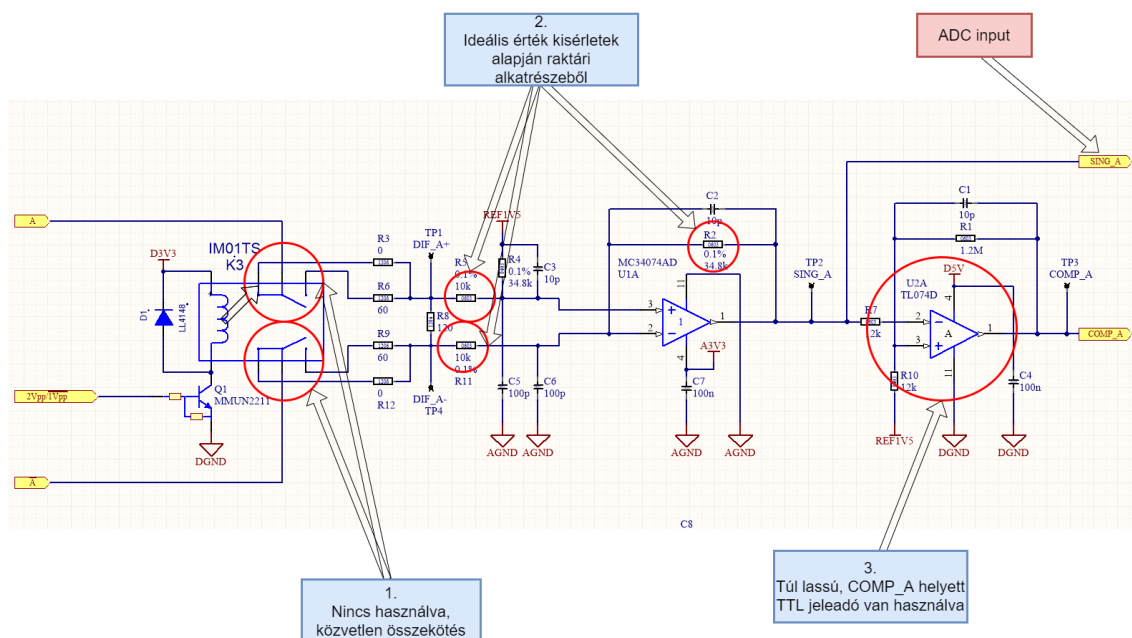
# Tartalomjegyzék

<b>1. Hardveres áttekintés</b>	<b>2</b>
1.1. Kiinduló áramkör . . . . .	2
1.2. A jelfeldolgozás elmélete . . . . .	3
<b>2. Szoftveres megvalósítás</b>	<b>5</b>
<b>Irodalomjegyzék</b>	<b>12</b>

# 1 Hardveres áttekintés

## 1.1. Kiinduló áramkör

A kezdeti terv amit kaptunk az enkóderből jövő differenciált jeleket szeretne volna feldolgozni de szükség volt néhány hardveres változtatásra hogy értelmezhető jeleket kapjunk. A mérések alapján talált észrevételeket és alkalmazott módosításokat az alábbi ábra mutatja (1.1).

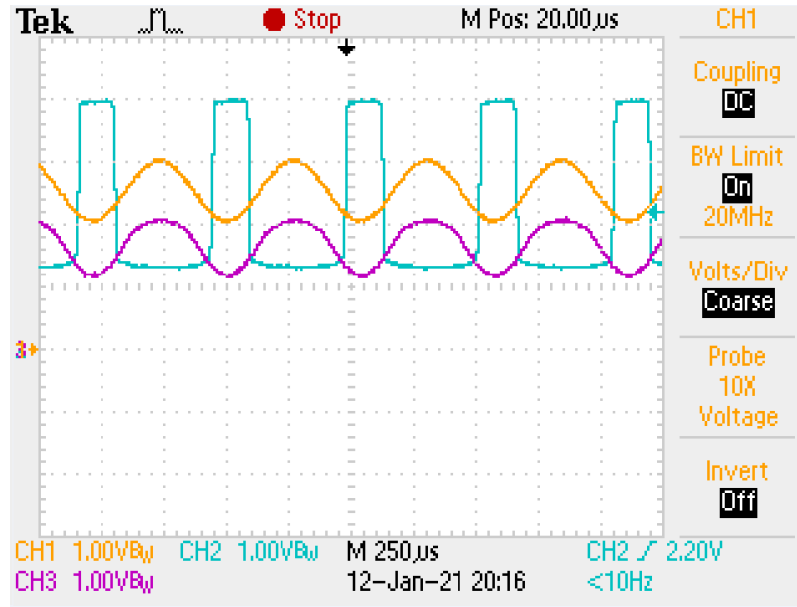


1.1. ábra. Differenciált jel feldolgozása

A 2-es pontban jelölt alkatrészekkel a tapasztalat alapján kísérletezni kell mivel a kapcsolásban használt értékek vagy nem erősítették eléggé a jelet vagy éppen túl erősítették ami pozícióhibát okoz. Az 1-es pontban jelölt relés kapcsolás a későbbiekben hasznos lesz, mivel azt tapasztaltuk, hogy különböző típusú enkóderek más-más kapcsolást igényeltek az optimális erősítés érdekében. A

3-as pontban jelölt áramkör eleinte jónak tűnt de nagyobb fordulatszámon ami 1000 RPM-et jelent már aligha volt használható a kapcsolás alul áteresztő jelegéből adódóan. Az áramkör célja a korábbi fokozatból származó szinuszból négyszögjel előállítását amit később a QEP modul tud értelmezni (1.2).

Mérésekkel és szimulációval is ellenőriztük, hogy ez a kapcsolás nagyobb fordulatszámon "túl szűk" jelet képez ami már értelmezhetetlen a QEP számára. A megoldás az utolsó fokozat



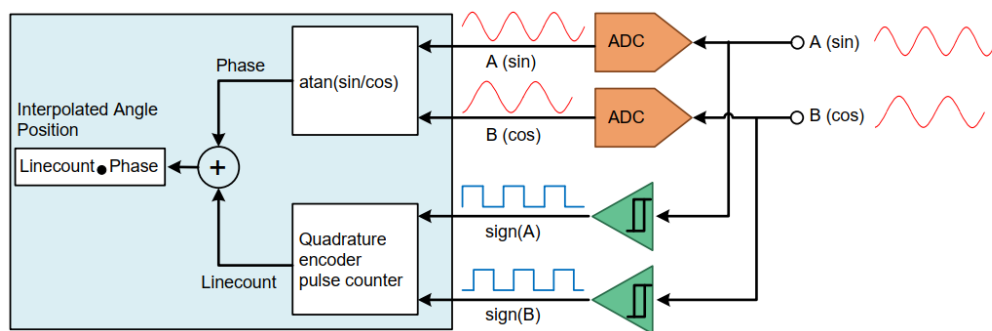
1.2. ábra. Sárga az eredeti bemenő, lila az első fokozat utáni és kék a második fokozat utáni jel

elhagyása volt és a DCU-n található TTL jeladó használata a későbbi pozíciószámolásban.

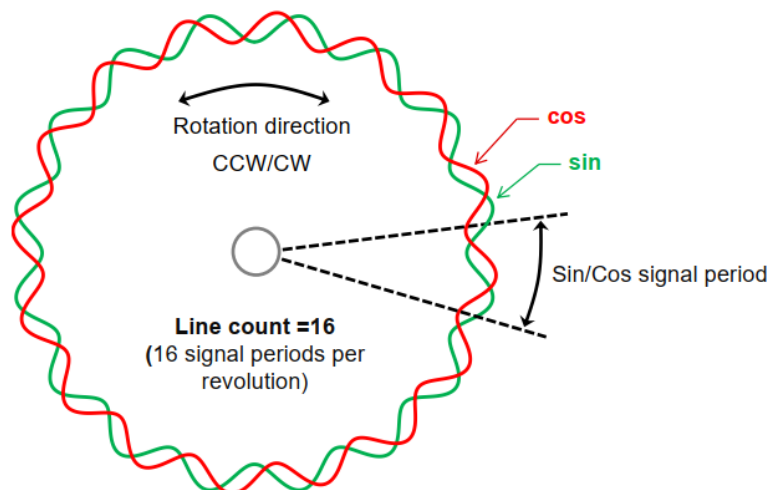
(TODO : Használt ellenállás értékek, OP ampek, és kondik kiírása)

## 1.2. A jelfeldolgozás elmélete

A jelfeldolgozást a TI TIDA-00176 application note [1] alapján végeztük ami többféle javaslatot tesz a megvalósításra. Mi a hardverből adódóan az 1.3-as fejezetben részletezett interpolációs technikát valósítottuk meg. Ez a módszer a QEP által szolgáltatott durva pozíciót tudja pontosabbá tenni két élváltás közt a szinuszos jeladóból származó jelekkel (1.3).



1.3. ábra. Közelített jel előállítása



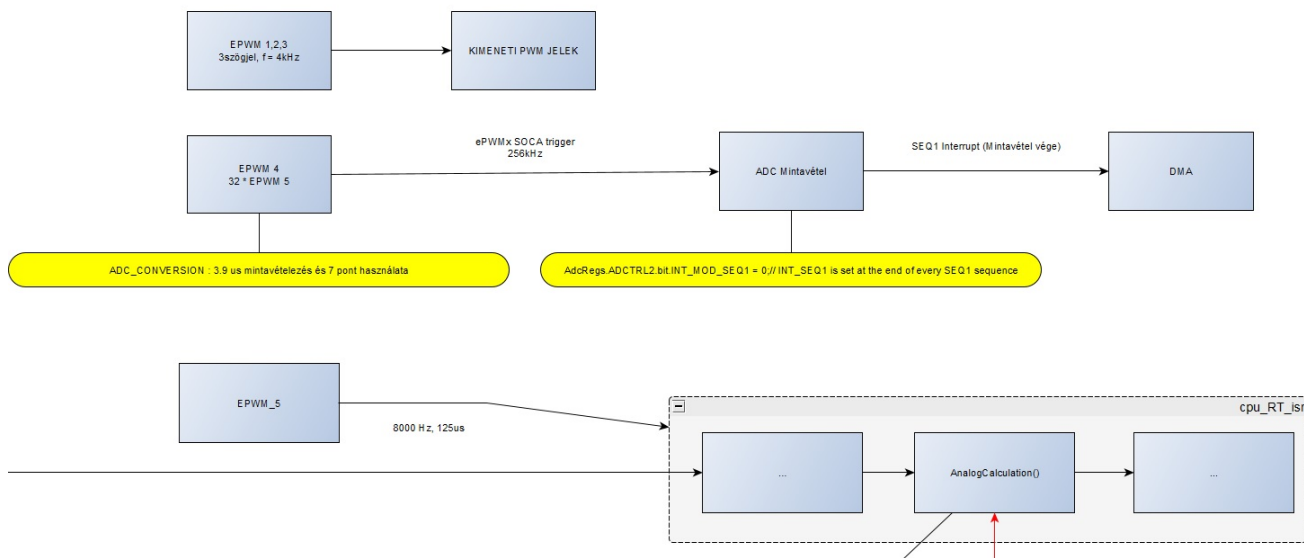
**1.4. ábra.** *Linecount szemléltetése  $N = 16$  esetén*

Az utolsó alapfogalom a későbbi tárgyalásokhoz a linecount ami minden enkóder saját paramétere. Jelentése az egy mechanikai körbefordulás alatt mérhető szinusz jel periódusok száma (1.4).

## 2 Szoftveres megvalósítás

A szoftveres megvalósítással szemben támasztott alapvető kritérium, hogy ne rontson el semmit ami már korábban működött és a lehető legpontosabb pozíciót adjuk vissza egy függvényen keresztül.

A kapott szoftver három különböző módon használja az elérhető PWM csatornákat (2.1). Az első három csatorna a kimeneti meghajtó áramköröknek szolgáltatnak jeleket. A negyedik 256kHz-el mintavételezi a hajtás számára releváns jeleket. Ezek közül a jelenlegi feladat szempontjából a két szinuszt mintavételező csatorna lesz fontos (valójában 4 db van tehát a kód és a hardver két jeladót is képes üzemeltetni).

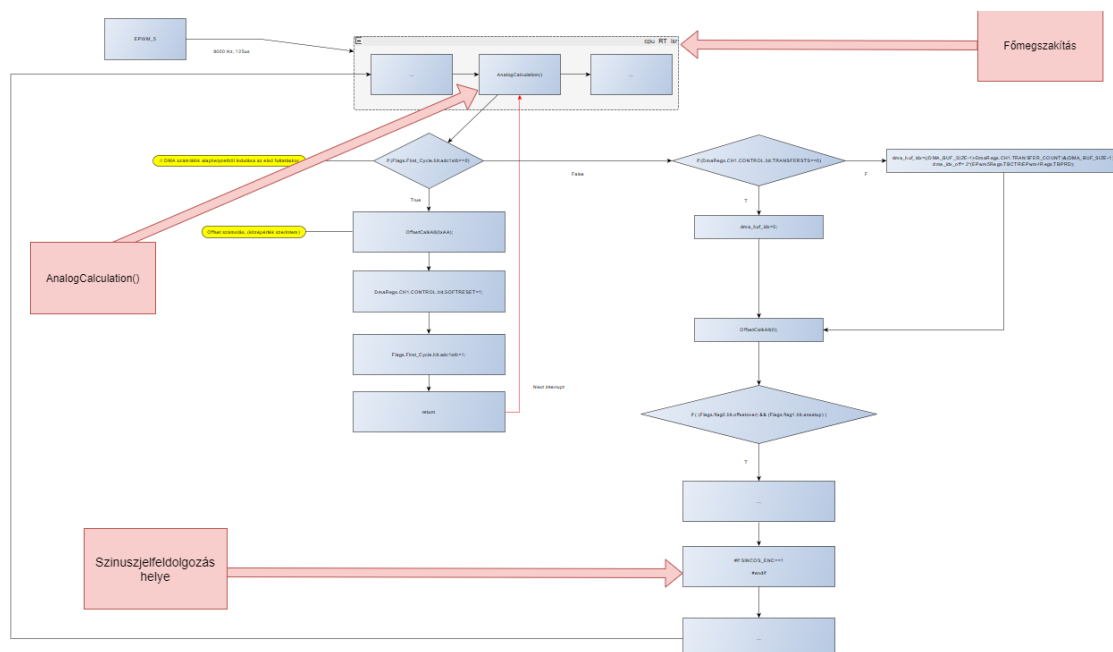


2.1. ábra. PWM csatornák feladatai

Mintavételezés végén a DMA automatikusan egy bufferba (*DMABuf1*) rakja a kiolvasott értékeket. A buffer 32 adatokkal teli struktúrát képes tárolni ami a főmegszakítás (*cpu\_RT\_isr*) 8kHz-es periódusidejéből adódik. A főmegszakításban az *AnalogCalculation()* függvényen belül kellett a szinuszos jeladó olvasásához szükséges részt elhelyezni. A korábbi tesztek során a perifériák saját beállítás alapján működtek de az első bekezdésben leírtak miatt (2) ez most nem volt lehetséges ezért a kódukant kellett módosítani.

Az *AnalogCalculation()*-n belül a kód helyét a következő ábra mutatja(2.2). Látható, hogy a függvényen belül mélyen, több feltétel után található a kód ami a tesztelést nehezíti. Hardveres tesztek során csak úgy sikerült elérni a szinuszos kódrészlet futtatását, hogy elhitettük a hajtással, hogy minden rendben fut. Ezt a következő bitek sor-

ban történő 1-be állításával lehet elérni:  $Q\_counter.I2P$ ,  $Flags.First\_Cycle.bit.ampeeproml$ ,  $Flags.flag0.bit.offsetover$ ,  $Flags.flag1.bit.ansetup$ .



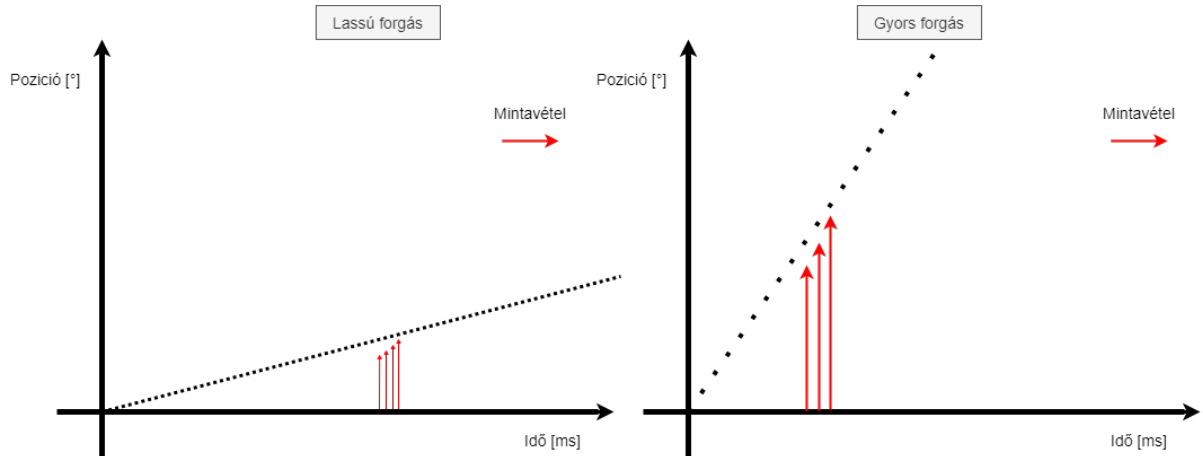
2.2. ábra. Kód helye az főmegszakításban

Ha megfelelő a sorrend akkor a hajtás azt hiszi minden rendben van és tesztelhető csak önmagában a jeladó. A kód a `ADCwDMA_read.c` fájl 1093. sorában kezdődik. A függvény elején rögtön kiolvassuk a QEP számláló értékét az aktuális pozíció minél pontosabb meghatározása miatt.

```
g_qepCounter = EQep1Regs.QPOS CNT;
```

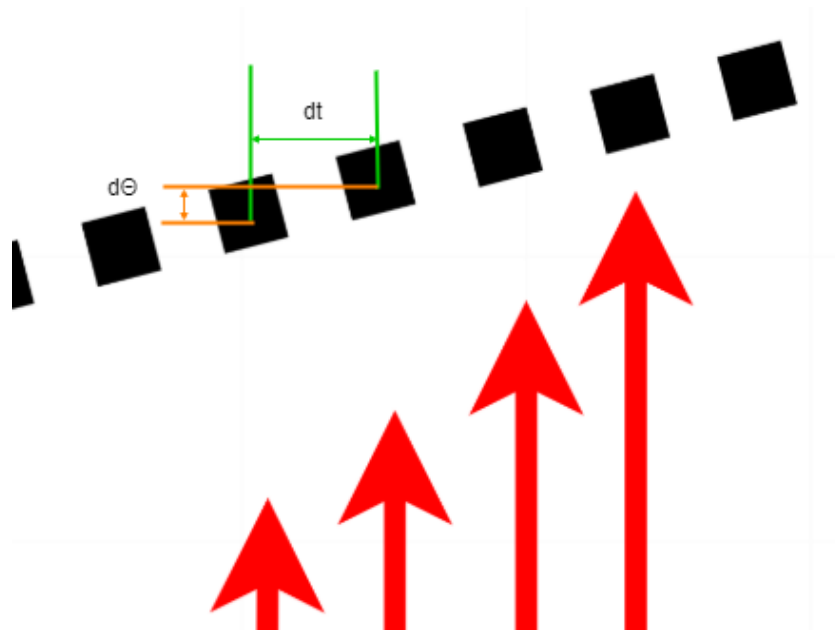
Itt rögtön két megközelítés is alkalmazható. Az egyik ami az eredeti ötlet volt, hogy DMA-n keresztül a szinusz pozíciójának lementésekkor lementjük a QEP számláló értékét is. Ebből következik, hogy amikor eljutunk a kiértékeléshez akkor pontos múltbeli pozícióval tudunk szolgálni. A probléma ezzel a megoldással, hogy nagyobb fordulatszámok esetén az aktuális pozíció és a szinuszos enkóderrel számolt pozíció közti késés növekszik. Ezt úgy lehet kivédeni, hogy a nagyobb fordulatszámokon jobban működő TTL jeladót használjuk ekkor, mivel a szinuszos finom pozíciónak itt nincs akkora haszna. Ehhez viszont kellett volna egy függvény ami eldönti, hogy mennyire vegyük figyelembe a szinuszos jeladót a jelenlegi fordulatszámtól függően.

Ehelyett nem használunk DMA-t hanem amikor a futás a kódhoz ér rögtön kiolvassuk az aktuális értéket. Ez természetes módon oldja meg a korábbi problémát mivel ha gyorsan forog a motor akkor a helybeli kiolvasás miatt mindig a lehető legaktuálisabb pozícióval dolgozunk (2.3).



**2.3. ábra.** Gyors és lassú forgás hatása a mintavételezésre

Látható, hogy gyors forgás esetén a DMA használatából adódó késleltetés nagyobb hibát fog okozni QEP kiolvasásakor mintha közvetlenül a futáskor olvasnánk ki. Viszont ha lassan forog akkor két pozíció kiértékelés közt (8kHz) aligha változik a QEP számláló állása ezért a finom pozíciós számolás pontos eredményt tud adni (2.4).



**2.4. ábra.** Lassú forgás hatása a mintavételezésre

Ezután megvizsgáljuk először fut-e le a pozíciókiértékelés. Ha igen akkor a `Init_sincos_param_for_calculation` függvényen belül inicializálunk néhány struktúra változót ami később a számításokat fogja segíteni. Leolvassuk a QEP számláló aktuális értékét és elmentjük mint referencia pont , végül pedig tiltjuk a legközelebbi futásnál ennek a `if`-es szerkezetnek a futását.

```
if(sincos_first_run == 1)
{
    Init_sincos_param_for_calculation(); // Init encoder corrections
    sincos_qep_ref = g_qepCounter;
    sincos_first_run = 0;
}
```



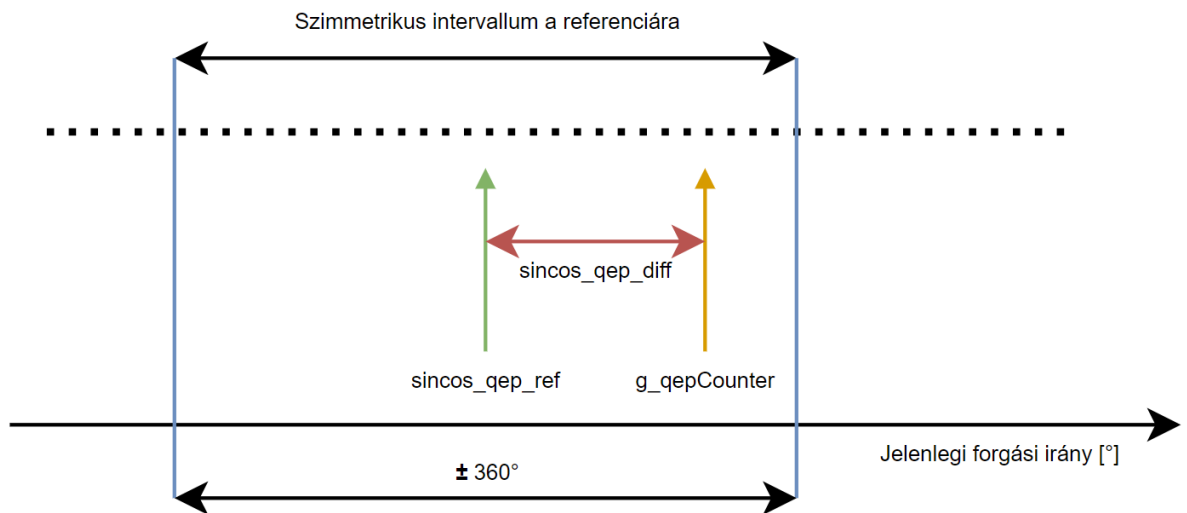
A következőkben megvizsgáljuk a korábban definiált linecount (1.4) alapján, hogy valamelyik irányban történt-e körbefordulás. Erre azért van szükség mert enélkül a függvény nem csak  $\pm 360^\circ$ -ban adna vissza eredményeket.

```
sincos_qep_diff = g_qepCounter - sincos_qep_ref;

if(sincos_qep_diff > sincos_encoder_linecount)
{
    sincos_qep_ref = sincos_qep_ref + sincos_encoder_linecount;
}

if(sincos_qep_diff < -sincos_encoder_linecount)
{
    sincos_qep_ref = sincos_qep_ref - sincos_encoder_linecount;
}
```

A kód működése könnyebben megérthető a következő ábra alapján (2.5). A függvény nem számolja hányszor történt körbefordulás csak a rotor aktuális pozícióját. Pozitív forgási irány esetén ez 0 és  $360^\circ$  közti eredmény lesz, negatív forgási iránynál pedig 0 és  $-360^\circ$  közti eredmény.



**2.5. ábra.** Referencia módosítás bemutatása

Ha a QEP számláló kimegy a linecount által meghatározott intervallumból akkor egyszeren csak eltoljuk a referencia pontot így a körbeforduláskor a szög értéke nem túl  $360^\circ$ -on hanem nullázódik.

A következőkben kiolvassuk a DMA-által olvasott utolsó pozíciót <sup>1</sup> és megtaláljuk a szinuszelek középértékét az `adc_zero_crossing_find()` függvény segítségével.

```
g_AdcChanel_B = DMABuf1[31].enc_chicos;
g_AdcChanel_A = DMABuf1[31].enc_chisin;

adc_zero_crossing_find();
```

Az `adc_zero_crossing_find()` csak nyomon követi globális változóiban az egyik csatorna maximum és minimum értékeit. Ha az eddig tárolt maximumnál nagyobb értéket

<sup>1</sup>(Megvizsgálandó, hogy lehetne használni akár több értéket is és átlagot képezni)

olvas az ADC akkor az lesz az új maximum, minimumra hasonló a megvalósítás. Ebből a két értékből átlagot számol amit elment egy harmadik globális változóba. Erre azért van szükség mert az ADC a mérések alapján 38000- 45000 intervallumban méri az értékeket és ebből még nem eldönthető, hogy egy adott szinusz érték éppen negatív vagy pozitív félperiódusban van.

A középérték megtalálás rögtön a következő sorban az arctan kiszámolásánál lesz hasznos mivel így eldönthető, hogy egy adott érték pozitív vagy negatív ami szükséges az arctan számolás helyességéhez.

```
angles.angle_in_fixed_fine = calculate_atan();
fine_angle_correction_for_360_degree();
```

Az arctan függvény egyik problémája, hogy csak  $\pm 90^\circ$ -ban ad vissza eredményeket de nekünk  $\pm 360^\circ$  kell. Ez egy korrekcióval orvosolható, de szükséges hozzá a referenciának választott csatorna előjele. Mi az *A* csatornát választottuk referenciának és ekkor a korrekció a következő módon valósítható meg.

```
void fine_angle_correction_for_360_degree()
{
    if (shifted_channel_A > 0)
    {
        angles.angle_in_fixed_fine = angles.angle_in_fixed_fine + (1.5707);
    }
    else
    {
        angles.angle_in_fixed_fine = angles.angle_in_fixed_fine + (4.7123);
    }
}
```

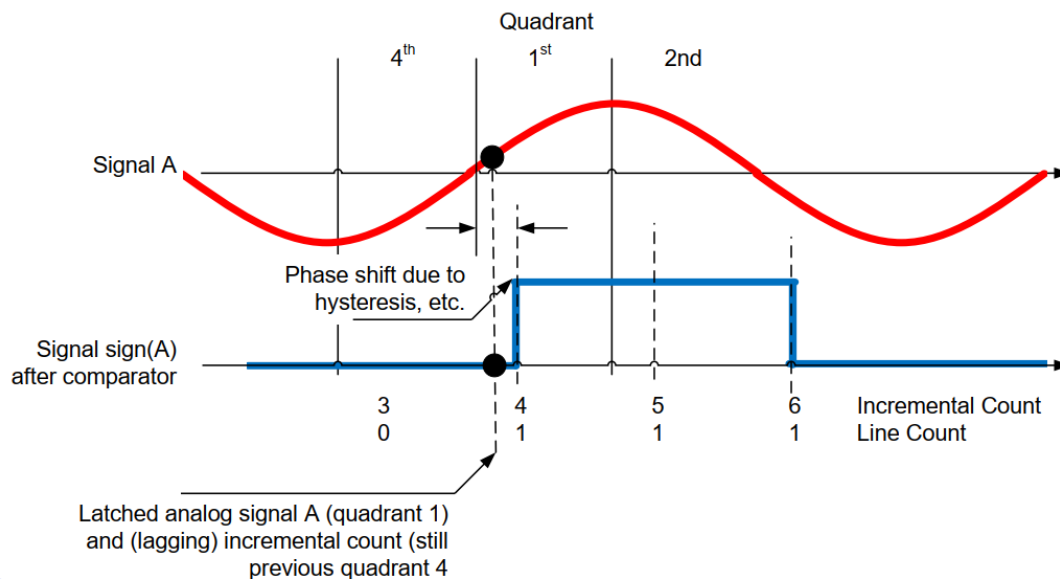
Itt a két mágikus szám a  $90^\circ$  és a  $270^\circ$  radiánban ami a kódban kommentezve is van. Ezzel az ügyes eltolással a  $\pm 90^\circ$  intervallum kibővült  $\pm 360^\circ$ . Az *angles.angle\_in\_fixed\_fine* a függvény során végig használt finom pozíció értékét jelöli.

A következő függvény az esetleges szinkronizációs hibák ellen hasznos.<sup>2</sup> Ha nem egyszerre történik a QEP és az ADC érték olvasása akkor előfordulhatnak pozícióhibák a számolás során (2.6).

```
QEP_latch_error_fix_due_to_phaseshift();
```

Ez igazából csak akkor jelent problémát ha az 1. negyedből megyünk a 4.-be vagy fordítva, mivel a többen a szinuszjelek által szolgáltatott pozíció lesz a mérvadó [1](1.3.1.5) a QEP csak az egész részt adja. Ebből következik, hogy csak két esetben kell megvizsgálnunk és korrigálnunk az eltéréseket.

<sup>2</sup>(Egyelőre még a kódban van de kérdéses, hogy nem DMA-val megvalósított QEP kiolvasás esetén nem-e okoz problémát. Bár kis fordulatszámokon nem okoz elméletileg de ezt még ki kell mérni )



**2.6. ábra.** *Hibás latch-ből adódó hiba*

Első lépésben meghatározzuk a melyik negyedben vagyunk. Ezután megvizsgáljuk, hogy a QEP számláló el van-e maradva, ha igen akkor korrigálunk rajta és a helyes értékkel számolunk tovább.

```
void QEP_latch_error_fix_due_to_phaseshift()
{
    //FINE IDENTIFICATION
    angles.angle_fine_quadrant = angles.angle_in_fixed_fine/(6.283185307);
    if (angles.angle_fine_quadrant < 0.25)
    {
        if (g_qepCounter % 4 == 3)
            g_qepCounter++;
    }
    if (angles.angle_fine_quadrant > 0.75)
    {
        if (g_qepCounter % 4 == 0)
            g_qepCounter--;
    }
}
```

Ha nem használjuk ezt a korrekciós eljárást akkor az szögugráshoz vezethet amiket a mérések során is tapasztaltunk (2.7). A tesztek alapján a korrekció mindig képes kijavítani a hibás latch-ből eredő hibákat.



**2.7. ábra.** Szögugrás hiba korrekció nélkül

Az utolsó lépés a pontos szög kiszámolása. Ehhez kiszámoljuk a szög egész részét amit a QEP számláló négygyel való osztásával kapunk ( $\text{sincos\_qep\_diff} \gg 2$ ). Utána hozzáadjuk a finom szög értékét ami egy 0 és  $360^\circ$  közti szám radiánban, így logikusan  $360^\circ$ -al osztjuk, hogy törtrészt kapjunk.

```
void calculate_interpolated_high_res_angle()
{
    angles.angle_in_fixed = (sincos_qep_diff >> 2)
        + ((angles.angle_in_fixed_fine)/(6.2831853));

    angles.angle_in_fixed = (angles.angle_in_fixed)
        *(g_sincos_param_for_calculation_values.heid_fine);

    angles.angle = angles.angle_in_fixed;
}
```

Itt még nem vettük figyelembe a jeladó line count-át ami hibát okoz a pozícióban ezért a következő sorban korrigáljuk ezzel az eredményt. A  $g\_sincos\_param\_for\_calculation\_values.heid\_fine$  egy heidenhain jeladóra kiszámolt paraméter amit úgy kapunk ha  $2\pi$ -t leosztjuk a linecount értékével. Mivel ez egy magic number ami csak zavarja az olvashatóságot ezért egy struktúrába lett eltárolva.

Ezek az eltárolt értékek a  $g\_sincos\_param\_for\_calculation\_values$  struktúrában vannak és ki vannak számolva tamagawa jeladókra is.

```
void Init_sincos_param_for_calculation()
{
    g_sincos_param_for_calculation_values.heid_fine = 0.1757812;
    g_sincos_param_for_calculation_values.heid_coarse = 0.043945312;
    g_sincos_param_for_calculation_values.yama_fine = 0.3515625;
    g_sincos_param_for_calculation_values.yama_coarse = 0.08789062;
}
```

Utolsó lépésben elmentjük a kiszámolt értéket egy globális változóban.

# Irodalomjegyzék

- [1] Texas Instruments. Interface to sin/cos encoders with high-resolution position interpolation reference design. <https://www.ti.com/tool/TIDA-00176>.